

МОДЕЛИРОВАНИЕ СБОЕВ В ПЕРИОДИЧНОСТИ РАСПОЛОЖЕНИЯ ЭЛЕМЕНТОВ ОГРАНИЧЕННЫХ ДИФРАКЦИОННЫХ РЕШЕТОК

C. H. Воробьев, E. B. Замятин

Отсутствие некоторых элементов дифракционной решетки может быть вызвано конструктивными особенностями СВЧ приборов и антенных устройств. Исследуем поле, рассеянное ограниченной эквидистантной ленточной решеткой, у которой последовательно исключается то или иное число элементов (при неизменной апертуре решетки и длине волны падающего поля). Тогда решение, полученное в [1], обладает важной особенностью, позволяющей оптимизировать алгоритм расчета характеристик рассеянного поля, значительно увеличив его быстродействие по сравнению с алгоритмом для неэквидистантной решетки из конечного числа элементов. В этом случае достаточно один раз вычислить матрицу системы (для всех элементов), а решение для «прореженных» решеток получать с помощью специально организованной процедуры выборки необходимых матричных элементов и компоновки соответствующих «прореженных» матриц, что существенно сокращает время вычислений на ЭВМ.

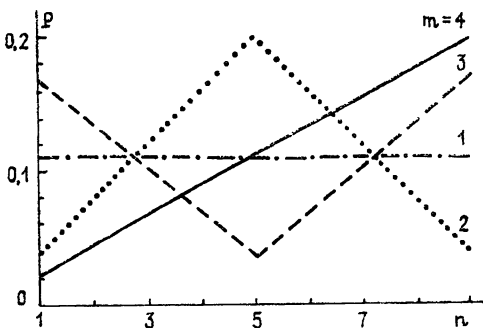


Рис. 1.

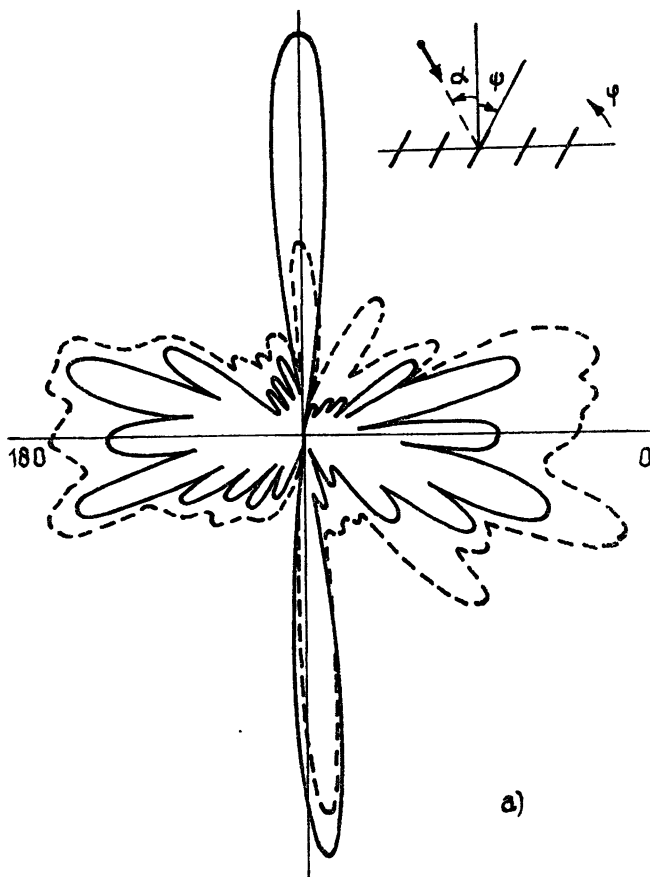


Рис. 2. $\psi = 10^\circ$, а) резонансное рассеяние, $\alpha = 0$.

Рассмотрим эквидистантную решетку (ЭР) из 11 идеально проводящих лент шириной в четверть периода, расположенных под углом ψ к нормали к плоскости решетки. Сверху на решетку под углом α падает плоская H -поляризованная волна (H -ком-

ионента электромагнитного поля направлена вдоль оси, по которой структура однородна) (рис. 2а). Частотный параметр $\chi=0,9$ (χ равно отношению периода к длине волны). Для нормального падения ($\alpha=0$) выбранное значение χ находится вблизи точки скольжения гармоники с номером ± 1 в эквивалентной периодической решетке, а изменение угла падения ($\alpha=30, 45, 60, 80^\circ$) позволяет исследовать влияние исключения элемента (ИЭЛ) на свойства ограниченной решетки в резонансном и нерезонансном случаях. Электромагнитное поле в дальней зоне, создаваемое участком периодической решетки, равным по размеру апертуре ограниченной, можно сравнить в направлении дифракционных максимумов (ДМ) с полем ЭР из конечного числа лент [1]. Относительная разность амплитуд этих полей в данном случае составляет менее 1%. Изменение угла наклона лент ($\psi=10, 80^\circ$) позволяет изучить различия в свойствах плоской и ножевой решеток.

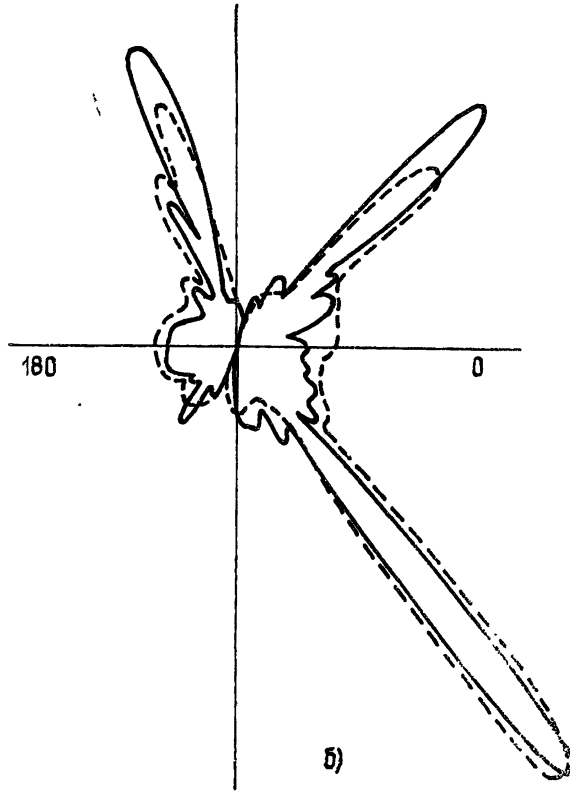


Рис. 2. $\varphi=10^\circ$; б) нерезонансное рассеяние, $\alpha=45^\circ$.

Амплитуда рассеянного поля (РП) решетки с произвольным образом исключенным элементом (кроме крайних) представляет одну реализацию со случайным расположением ИЭЛ. Погрешность вычислений РП не превышала 0,5%. Затем рассчитывались статистические характеристики — среднее значение амплитуды РП (СП) и дисперсия амплитуды РП (ДП) в случае различных распределений вероятности ИЭЛ в зависимости от положения элемента в решетке. Вид используемых распределений приведен на рис. 1; здесь 1 — исключаемые ленты решетки, P — вероятность исключения. Номером $m=1$ обозначено равномерное распределение, 2 — треугольное, 3 — с максимумом на краях решетки, 4 — равномерно возрастающее вдоль решетки

На рис. 2а, б изображено СП (штриховая кривая) для $m=1$ в сравнении с диаграммой направленности эквидистантной решетки (сплошная кривая); $\psi=10^\circ$. Анализ результатов показывает, что при $\alpha=0$ — случай резонансного рассеяния (рис. 2а) — сильно деформируется все РП; амплитуда ДМ прошедшего поля падает на 15—20%, а отраженного — на 50—55%; значительно возрастает излучение вдоль плоскости решетки, в некоторых реализациях оно превосходит излучение в направлении ДМ ЭР. В случае нерезонансного рассеяния при $\alpha=45^\circ$ (рис. 2 б) изменения РП менее выражены; амплитуда ДМ прошедшего поля падает на 5—8%, отраженного — на 18—22%, а излучение вдоль плоскости решетки растет в среднем больше, чем в резонанском случае, но его флуктуации от реализации к реализации невелики. Они достигают только $\sim 10\%$ средней величины ДМ, в то время как для резонансного рассеяния они составляют $\sim 40\%$.

Изменение величины главного ДМ при ИЭЛ будем характеризовать величиной $K_a = \bar{A}/A$, где \bar{A} — амплитуда ДМ СП, а A — амплитуда ДМ ЭР. Изучение зависимости K_a от углов α и ψ (табл. 1) позволяет установить следующее. 1) Изменение

величины ДМ существенно зависит от α (тем сильнее, чем меньше ψ), причем зависимость $K_a(\alpha)$ имеет максимум. Следовательно, можно найти условия возбуждения, при которых решетка наиболее устойчива к ИЭЛ. 2) Для резонансного рассеяния с увеличением ψ величина K_a возрастает, т. е. решетка тем устойчивее сохраняет свои характеристики, чем ближе она к плоской. Величина K_a минимальна при $m=2$, $\psi=10^\circ$. 3) Влияние вида распределения ИЭЛ для почти плоских решеток на величину K_a незначительно.

Таблица 1

Зависимости K_a от α , ψ

	m	α , град.				
		0	30	45	60	80
$\psi = 10^\circ$	1	0,829	0,930	0,927	0,925	0,872
	2	0,806	0,927	0,926	0,924	0,875
	3	0,852	0,928	0,925	0,921	0,881
	4	0,836	0,928	0,926	0,925	0,877
$\psi = 80^\circ$	1	0,907	0,912	0,911	0,910	0,906
	2	0,908	0,912	0,910	0,909	0,905
	3	0,908	0,913	0,911	0,909	0,904
	4	0,908	0,912	0,911	0,909	0,905

Излучение в районе углов, близких к плоскости решетки, является характерной особенностью ограниченных структур. Введем параметр $K_p = (\bar{A}_{180} + \bar{A}_0) / (A_{180} + A_0)$, где \bar{A}_α — СП под углом α , а A_α соответствует ЭР. Анализ зависимостей K_p от α и ψ , представленных в табл. 2, позволяет выявить следующие закономерности. 1) Величина K_p имеет максимум ($K_p \sim 3$) в области $\alpha \sim 30^\circ$. Причем угол α , соответствующий максимуму, одинаков для различных ψ . 2) В нерезонансном случае угол ψ мало влияет на величину K_p . 3) Следует отметить падение амплитуды излучения вдоль решетки при больших углах падения, где $K_p \sim 0,9 \div 0,95$.

Таблица 2

Зависимости K_p от α , ψ

	m	α , град.				
		0	30	45	60	80
$\psi = 10^\circ$	1	1,682	3,081	2,814	1,275	0,992
	2	1,621	2,976	2,712	1,134	0,981
	3	1,592	2,867	2,686	1,121	0,974
	4	1,655	2,972	2,751	1,153	0,972
$\psi = 80^\circ$	1	1,091	3,124	2,910	1,282	1,025
	2	1,182	3,085	2,693	1,099	0,930
	3	1,494	3,168	2,868	1,166	0,947
	4	1,215	3,117	2,842	1,082	0,913

ИЭЛ приводит к сдвигу главного максимума СП относительно его направления при рассеянии на ЭР. Флуктуации главного ДМ обнаружены для решетки с $\psi=10^\circ$. Величина сдвига лежит в пределах от 1° до 3° , максимальное значение соответствует углам падения $\alpha \sim 0$ и $\alpha \sim 45^\circ$ и составляет до 25% ширины лепестка. Значит, не более 0,3 K_a может вызываться сдвигом направления ДМ, а остальное падение амплитуды излучения является результатом уменьшения амплитуды ДМ вследствие ИЭЛ. Наибольшая величина флуктуаций наблюдается для распределений $m=1$ и $m=3$. Для решеток с $\psi=80^\circ$ сдвиг главного ДМ составляет менее 1° .

На рис. 3 приведены зависимости ДП (штриховая кривая) для случая $\psi = 10^\circ$, $\alpha = 0^\circ$, $m = 1$. Максимумы дисперсии совпадают с провалами РП (сплошная кривая), а это означает, что сильнее всего флуктуирует фон, тогда как максимумам РП соот-

вествуют минимумы ДП. В области углов $\varphi \sim 0$ и $\varphi \sim 180^\circ$ дисперсия возрастает. Качественный характер зависимостей ДП сохраняется и при $\psi = 80^\circ$, но вариации ДП становятся значительно меньше.

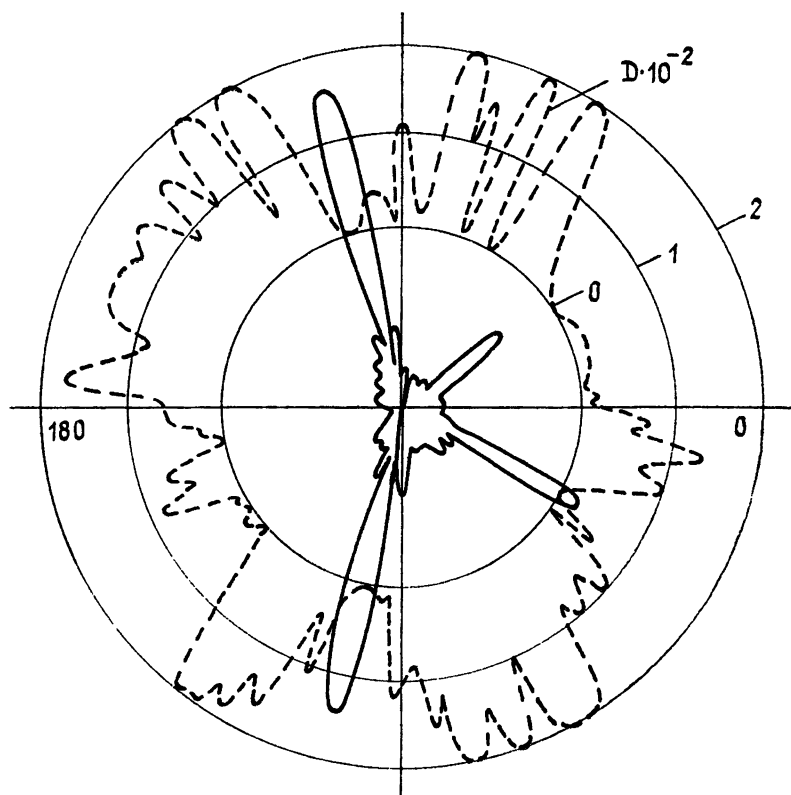


Рис. 3. $\psi = 10^\circ$; $\alpha = 60^\circ$, $m = 1$.

На рис. 4 приведена кривая дисперсии $D(\alpha)$ величины главного ДМ для решетки с $\psi = 10^\circ$ при равномерном распределении ИЭЛ. В результате исследования $D(\alpha)$

было выяснено 1) в резонансном случае дисперсия имеет величину порядка $5 \cdot 10^{-3}$, а флуктуации амплитуд главного ДМ в реализациях составляют 5—10% от величины максимума СП. В нерезонансном случае величина дисперсии меньше на порядок $(1.5—3) \cdot 10^{-4}$, а указанные выше флуктуации находятся в пределах 1%; 2) для $\alpha \geq 30^\circ$ зависимость величины дисперсии от α слаба; 3) $D(\alpha)$ уменьшается с увеличением угла наклона лент, а, значит, плоские решетки не только устойчивее к ИЭЛ, но и более точно описываются средними величинами. Разница в величине дисперсии ДМ может достигать двух-трех порядков.

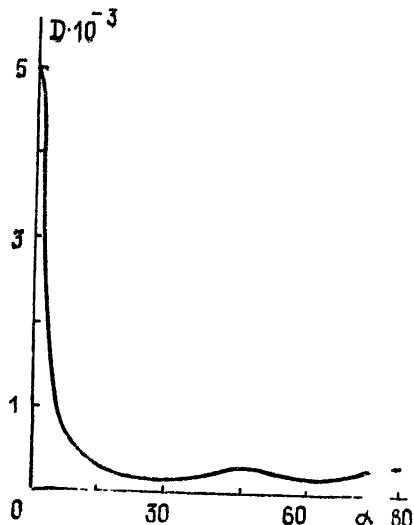


Рис. 4. $\psi = 10^\circ$; равномерное распределение ИЭЛ.

ЛИТЕРАТУРА

- Воробьев С. Н., Литвиненко Л. Н., Просвирин С. Л.—ДАН УССР, 1984, сер. А, № 8, с. 67.

Институт радиофизики и электроники
АН УССР

Поступила в редакцию
12 февраля 1986 г.